

阳离子交换法浓缩铀同位素的络合剂选择理论

II. UO_2^{2+} 被加速传质研究

吴王锁 邱陵

(兰州大学现代物理系)

本文用大孔磺酸型阳离子交换树脂研究并确认了树脂相U(IV)、Ti(IV)、Fe(II)以及液相中 H_2SO_4 、 HCl 、六种羧酸对 $\text{UO}_2^{2+}-\text{H}^+$ 交换过程的加速作用。肯定了内扩散系数和滞留时间对应规律的普遍性；明确了阴离子的加速效应次序；用吸附双电层理论解释了阴离子加速传质效应的起因，并对 $\text{UO}_2^{2+}-\text{H}^+$ 交换的起始阶段作了理论分析。

关键词 UO_2^{2+} 离子交换，交换动力学，加速传质，铀同位素浓缩。

文献[1]报道了 $^{235}\text{UO}_2^{2+}-^{238}\text{UO}_2^{2+}$ 交换是阳离子交换法浓缩铀同位素时传质的主要通道，就粒内自扩散系数而言，此过程和 $\text{UO}_2^{2+}-\text{H}^+$ 交换过程相接近。因此，研究和加速 $\text{UO}_2^{2+}-\text{H}^+$ 交换就成为阳离子交换法浓缩铀同位素的关键问题之一。

作者曾报道了树脂相中存在的某些阳离子如 Mn^{2+} 、 Ca^{2+} 、 Zn^{2+} 、 Co^{2+} 、稀土等对 $\text{UO}_2^{2+}-\text{H}^+$ 交换过程的加速效应及机制^[2, 3]。溶液中存在某种二元羧酸时也显示出加速 UO_2^{2+} 传质的作用。本文针对浓缩铀同位素的阳离子交换法之实际情况，以两种大孔磺酸型离子交换树脂，对U(IV)、Ti(IV)、Fe(II)以及HCl、 H_2SO_4 、羟基羧酸、二元羧酸等对 $\text{UO}_2^{2+}-\text{H}^+$ 交换的加速作用作了系统的研究，得到的结论及规律用吸附双电层结构理论^[4]作了满意的解释。

实 验

实验采用浅床吸附法^[5]。用孔结构和交联度各不相同的两种国产聚苯乙烯磺酸型大孔树脂QS-925($\times 10$) (编号No.1)和QS-209($\times 8$) (编号No.2)，匀选后的 H^+ 型树湿脂直径分别为 $(46 \pm 3) \times 10^{-4}$ cm和 $(52 \pm 2) \times 10^{-4}$ cm，实验温度为 $25 \pm 1^\circ\text{C}$ 。

当研究阳离子的加速效应时，预先将一定酸度和浓度的某种阳离子〔如U(IV)、Fe(II)或Ti(IV)〕溶液通过浅床，平衡后用无水乙醇冲洗净树脂表面，然后在上述溶液中加入微量 UO_2^{2+} ，使浓度为 $7.8 \times 10^{-3} M$ 作为吸附剂。吸附一定时间后用无水乙醇冲洗净树脂表面，以 $3N\text{NH}_4\text{Cl}$ 洗下 UO_2^{2+} ，偶氮胂Ⅲ比色测定 UO_2^{2+} 。Fe(II)、Ti(IV)不影响 UO_2^{2+} 的测定，U(IV)需定量分离，为此需在浅床下端连接数厘米高的阳交换床，当 $3N\text{NH}_4\text{Cl}$ 流洗时可定量分离U(IV)和 UO_2^{2+} 。

当研究羧酸的加速效应时，除有关的溶液中加入一定量的羧酸外，其余操作同上。

阳离子的交换效应

1. U(IV) 不同U(IV)负载率 [$\phi_{\text{U(IV)}}$] 时的 $Bt-t$ 曲线如图1所示。从图1中求算得到的

1986年10月29日收到。

* “—”代表树脂相。

B 、 \bar{D} 及 $\tau_d^{(1)}$ 列入表1中。

表1 不同U(IV)负载率时的 $\text{UO}_2^{2+}-\text{H}^+$ 交换动力学参数

树脂号: No.1, $C_{\text{UO}_2^{2+}}=7.80 \times 10^{-3} \text{M}$, $T=25 \pm 1^\circ\text{C}$.

$\phi_{\text{U(IV)}}, \%$	pH	B, s^{-1}	$\bar{D}, \text{cm}^2/\text{s}$	τ_d, s
0	1.15	1.50×10^{-2}	8.0×10^{-9}	29.0
25.5	1.05	2.61×10^{-2}	1.40×10^{-8}	20.5
29.3	1.02	2.73×10^{-2}	1.46×10^{-8}	20.6
36.7	1.00	2.78×10^{-2}	1.48×10^{-8}	20.0
41.6	1.02	2.80×10^{-2}	1.50×10^{-8}	20.2

对 $\phi_{\text{U(IV)}}=0$ 时的 $Bt-t$ 图, 其起始部分的曲线可归结为液膜扩散所致^[1]。当 $\phi_{\text{U(IV)}}=25.5\%-29.3\%$ 时, 由液膜扩散的主控阶段大为缩减, 且出现了停止交换的一段“死时间”; 同时扩散常数 B 明显增加。当 $\phi_{\text{U(IV)}} \geq 36.7\%$ 时, 由液膜扩散主控的阶段完全消失, 经过“死时间”后即开始粒内扩散。由上述可见, U(IV)明确地显示出包括交换的起始阶段和粒内扩散阶段的加速作用。

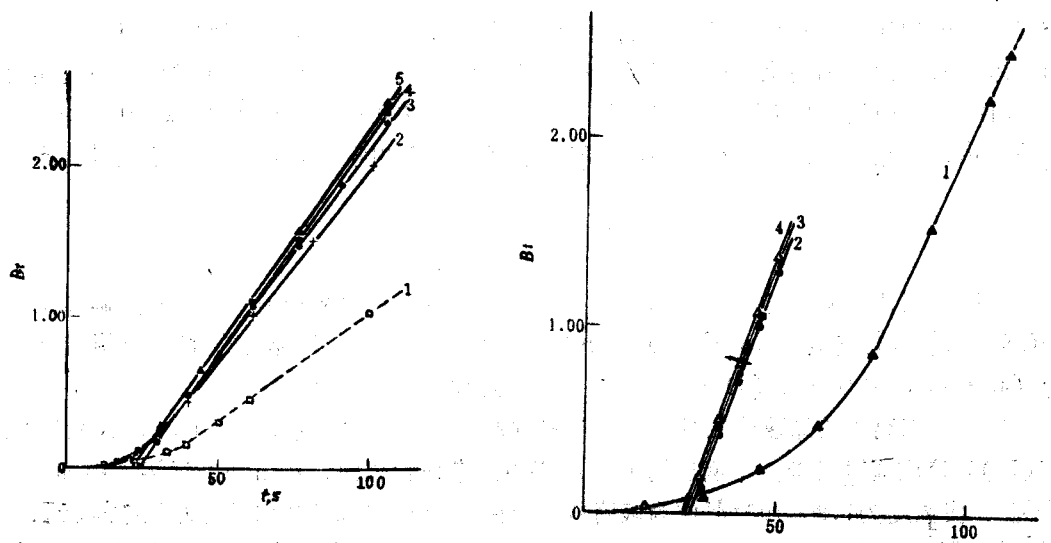


图1 不同U(IV)负载率时 $\text{UO}_2^{2+}-\text{H}^+$ 交换过程中 UO_2^{2+} 的 $Bt-t$ 图

树脂号: No.1, $T=25 \pm 1^\circ\text{C}$ 。

- 1 —— $\phi_{\text{U(IV)}}=0$;
- 2 —— $\phi_{\text{U(IV)}}=25.5\%$;
- 3 —— $\phi_{\text{U(IV)}}=29.3\%$;
- 4 —— $\phi_{\text{U(IV)}}=36.7\%$;
- 5 —— $\phi_{\text{U(IV)}}=41.6\%$ 。

图2 不同Ti(IV)负载率时 $\text{UO}_2^{2+}-\text{H}^+$ 交换过程中 UO_2^{2+} 的 $Bt-t$ 图

树脂号: No.2, $T=25 \pm 1^\circ\text{C}$ 。

- 1 —— $\phi_{\text{U(IV)}}=0$;
- 2 —— $\phi_{\text{U(IV)}}=17.3\%$;
- 3 —— $\phi_{\text{U(IV)}}=25.6\%$;
- 4 —— $\phi_{\text{U(IV)}}=33.3\%$ 。

2. Ti(IV) 实验结果见图2和表2。同样, 在Ti(IV)存在下, $\text{UO}_2^{2+}-\text{H}^+$ 交换过程在经过了较短的“死时间”后立即开始了粒内扩散, 它的加速作用是可以确认的。

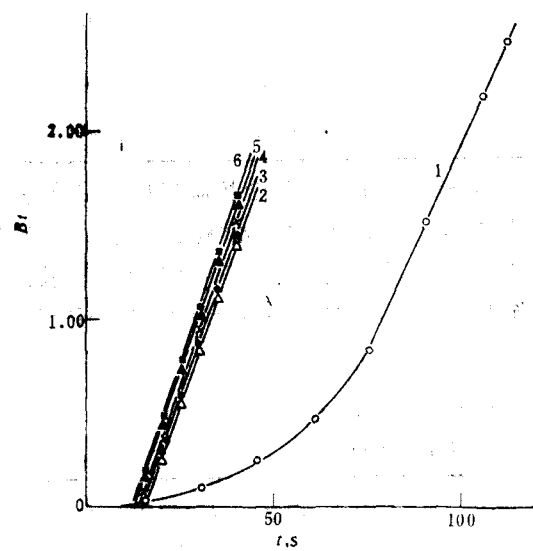
表2 不同Ti(IV)负载率时的 $\text{UO}_2^{2+}-\text{H}^+$ 交换动力学参数树脂号: No.2; $T=25\pm1^\circ\text{C}$ 。

$\phi_{\text{Ti(IV)}}, \%$	$C_{\text{UO}_2^{2+}}, \text{M}$	pH	$B, 1/\text{s}$	$D, \text{cm}^2/\text{s}$	τ_d, s
0	3.90×10^{-3}	1.15	4.50×10^{-2}	3.1×10^{-8}	56
17.3	1.95×10^{-3}	1.51	5.89×10^{-2}	4.0×10^{-8}	28
25.6	1.95×10^{-3}	1.48	5.92×10^{-2}	4.1×10^{-8}	28
33.3	1.95×10^{-3}	1.50	5.98×10^{-2}	4.1×10^{-8}	28

3.Fe(II) 实验结果见图3和表3, 得到了和U(IV)、Ti(IV)同样的结论。

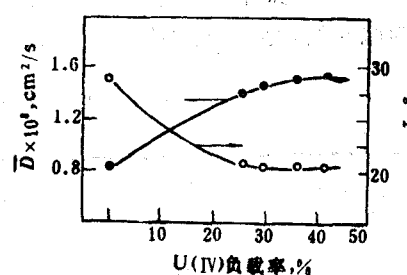
表3 不同Fe(II)负载率时的 $\text{UO}_2^{2+}-\text{H}^+$ 交换动力学参数树脂号: No.2; $T=25\pm1^\circ\text{C}$ 。

$\phi_{\text{Fe(II)}}, \%$	$C_{\text{UO}_2^{2+}}, \text{M}$	pH	$B, 1/\text{s}$	$D, \text{cm}^2/\text{s}$	τ_d, s
0	3.90×10^{-3}	1.15	4.50×10^{-2}	3.1×10^{-8}	56
16.4%	1.95×10^{-3}	1.50	5.45×10^{-2}	3.7×10^{-8}	16
25.9%	1.95×10^{-3}	1.50	5.58×10^{-2}	3.8×10^{-8}	15
35.1%	1.95×10^{-3}	1.52	5.68×10^{-2}	3.9×10^{-8}	14
47.9%	1.95×10^{-3}	1.49	5.75×10^{-2}	3.9×10^{-8}	13
54.8%	1.95×10^{-3}	1.50	5.78×10^{-2}	4.0×10^{-8}	13

图3 不同Fe(II)负载率时 $\text{UO}_2^{2+}-\text{H}^+$ 交换过程中 UO_2^{2+} 的 $B-t$ 图树脂号: No.2; $T=25\pm1^\circ\text{C}$ 。

- 1 —— $\phi_{\text{Fe(II)}} = 0$; 2 —— $\phi_{\text{Fe(II)}} = 16.4\%$;
- 3 —— $\phi_{\text{Fe(II)}} = 25.9\%$; 4 —— $\phi_{\text{Fe(II)}} = 35.1\%$;
- 5 —— $\phi_{\text{Fe(II)}} = 47.9\%$; 6 —— $\phi_{\text{Fe(II)}} = 54.8\%$.

从图1—3可知, 随着阳离子负载率的增加, D 依次上升而 τ_d 随之减少并趋于一极限值。把不同负载下的 D 对 τ_d 作图, $D \sim \tau_d$ 的对应关系再次被肯定^[4], 结果见图4、图5及图6。

图4 U(IV)加速 $\text{UO}_2^{2+}-\text{H}^+$ 交换过程中的 $D \sim \tau_d$ 关系

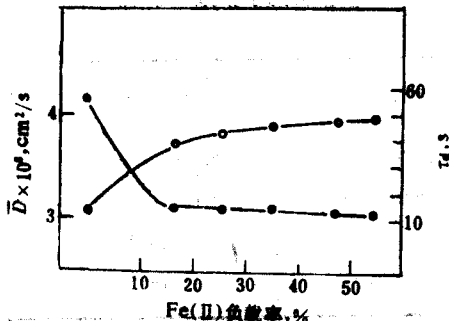


图5 加速 $\text{UO}_2^{2+}-\text{H}^+$ 换程的
 $\bar{D} \sim \tau_d$ 关系

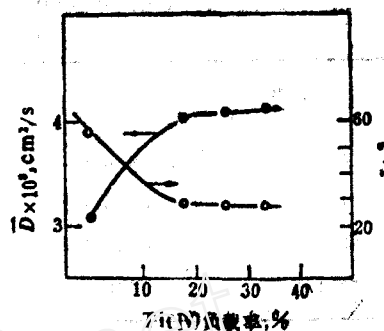


图6 Ti(IV)加速 $\text{UO}_2^{2+}-\text{H}^+$ 交换过程
 $\bar{D} \sim \tau_d$ 关系

无机酸和羧酸的加速效应

溶液中无机酸和羧酸的性质及浓度对 $\text{UO}_2^{2+}-\text{H}^+$ 交换过程中显著影响, 图7和表4是不同浓度下盐酸和硫酸的 $Bt-t$ 图及相应的求算结果。

表4 浓度不同的 HCl , H_2SO_4 介质中 $\text{UO}_2^{2+}-\text{H}^+$ 交换的动力学参数
树脂号: No.2; $T=25 \pm 1^\circ\text{C}$ 。

介 质	酸 浓 度	B , 1/s	D , cm^2/s	τ_d , s
HCl	pH=1.15	4.50×10^{-2}	3.1×10^{-8}	56
	0.50 M	8.80×10^{-2}	6.0×10^{-8}	3.5
H_2SO_4	pH=1.15	5.14×10^{-2}	3.52×10^{-8}	30
	0.15 M	9.11×10^{-2}	6.2×10^{-8}	2.4

对pH=1.15的稀盐酸, $\text{UO}_2^{2+}-\text{H}^+$ 交换经历了液膜扩散主控、混合控制和粒内扩散为主控的三个阶段^[1]; 对0.5 N HCl, $\text{UO}_2^{2+}-\text{H}^+$ 交换是在仅经过了5秒的“死时间”后立即开始粒内扩散的, 且内扩散系数增加了一倍; 对稀硫酸, 它和稀盐酸不同, 它不存在液膜扩散, 而是在30秒“死时间”后立即开始粒内扩散的。当 H_2SO_4 浓度增加到0.15 M时, “死时间”缩减为原来的1/12, 而 D 值增加了80%。

表5 Fe(II) 和 HCl , H_2SO_4 对 $\text{UO}_2^{2+}-\text{H}^+$ 交换的加速效应
树脂号: No.2; $C_{\text{UO}_2^{2+}}=1.95 \times 10^{-3} \text{M}$; $T=25 \pm 1^\circ\text{C}$ 。

$\phi_{\text{Fe(II)}}\%, \%$	介 质	酸 度, M	B , 1/s	D , cm^2/s	τ_d , s
0 35.1	HCl	0.50	8.8×10^{-2}	6.0×10^{-8}	3.5
			0.109	7.5×10^{-8}	2.2
0 35.1	H_2SO_4	0.15	9.11×10^{-2}	6.2×10^{-8}	2.4
			0.158	1.1×10^{-7}	1.7

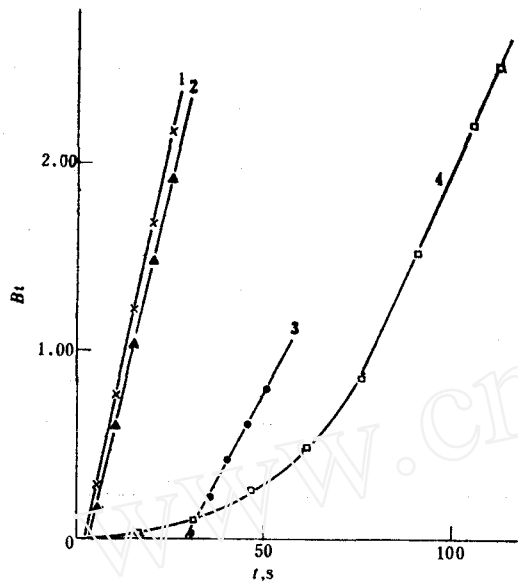


图7 浓度不同的 HCl , H_2SO_4 介质中 $\text{UO}_2^{2+}-\text{H}^+$ 交换时 UO_2^{2+} 的 $Bt-t$ 图
1— $0.15\text{M}\text{H}_2\text{SO}_4$; 2— $0.5\text{M}\text{HCl}$;
3— H_2SO_4 , $\text{pH}=1.15$; 4— HCl , $\text{pH}=1.15$ 。

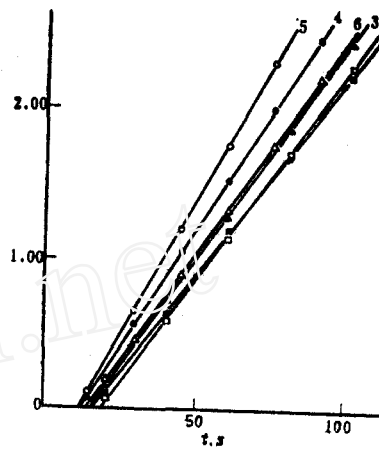


图8 U(IV) 存在下六种羧酸对 $\text{UO}_2^{2+}-\text{H}^+$ 交换时 UO_2^{2+} 的 $Bt-t$ 图之影响

1—酒石酸; 2—柠檬酸;
3—三氯乙酸; 4—丁二酸;
5—丙二酸; 6—溴代丁二酸。

如树脂中还存在阳离子作为加速离子，则联合的加速效应更为显著，表5列出了负载率为35.1%的Fe(II)的联合加速效应。

羧酸对 $\text{UO}_2^{2+}-\text{H}^+$ 加速度质作用是在树脂中存在阳离子的条件下进行对比研究的。

1. U(IV) -六种羧酸加速效应的比较结果见图8和表6。

表6 U(IV) 存在下，羧酸对 $\text{UO}_2^{2+}-\text{H}^+$ 交换的加速度
树脂号：No.2; $\phi_{\text{U(IV)}}=39.3\%$; $C_{\text{UO}_2^{2+}}=3.90 \times 10^{-3}\text{M}$; $T=25 \pm 1^\circ\text{C}$ 。

羧 酸	酸 浓 度, M	pH	B , 1/s	D , cm^2/s	τ_d , s
酒 石 酸	0.050	1.54	2.70×10^{-2}	1.45×10^{-8}	16.8
柠 檬 酸	0.050	1.54	2.80×10^{-2}	1.50×10^{-8}	19.5
三 氯 乙 酸	0.050	1.53	2.93×10^{-2}	1.57×10^{-8}	15.0
溴 代 丁 二 酸	0.050	1.16	2.95×10^{-2}	1.58×10^{-8}	16.0
丁 二 酸	0.050	1.55	3.25×10^{-2}	1.74×10^{-8}	13.0
丙 二 酸	0.050	1.52	3.75×10^{-2}	2.01×10^{-8}	12.8

2. Ti(IV) -六种羧酸的对比研究结果见图9及表7。另附有相同pH下的 HCl 和 H_2SO_4 的结果以资比较。

3. Fe(II) -五种羧酸加速效应的结果见图10及表8。

表7 Ti(IV) 存在下，羧酸对 $\text{UO}_2^{2+}-\text{H}^+$ 交换的加速效应
树脂号：No. 2; $\phi_{\text{Ti(IV)}}=33.3\%$; $C_{\text{UO}_2^{2+}}=1.95 \times 10^{-3} \text{M}$, $T=25 \pm 1^\circ\text{C}$ 。

羧 酸	酸 浓 度, M	pH	B , 1/s	D , cm^2/s	τ_d , s
盐 酸	(pH 1.50)	1.50	5.98×10^{-2}	4.1×10^{-8}	28
草 酸	0.0010	1.50	6.00×10^{-2}	4.1×10^{-8}	27
硫 酸	(pH 1.50)	1.50	6.50×10^{-2}	4.5×10^{-8}	28
酒 石 酸	0.050	1.51	8.00×10^{-2}	5.5×10^{-8}	22
柠 檬 酸	0.050	1.50	8.14×10^{-2}	5.6×10^{-8}	22
三 氯 乙 酸	0.030	1.50	8.55×10^{-2}	5.9×10^{-8}	21
丁 二 酸	0.050	1.50	9.27×10^{-2}	6.4×10^{-8}	19.6
丙 二 酸	0.050	1.48	0.109	7.5×10^{-8}	17.5

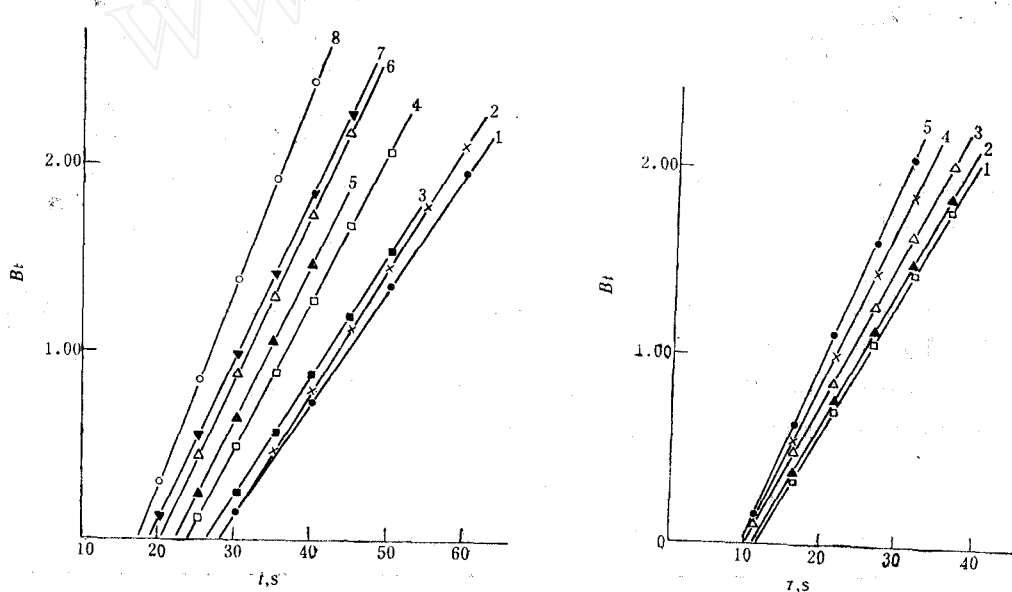


图9 Ti(IV) 存在下六种羧酸对 $\text{UO}_2^{2+}-\text{H}^+$ 交
换时 UO_2^{2+} 的 B_t-t 图之影响

1— HCl , pH=1.5; 2— H_2SO_4 , pH=1.5;
3—草酸, 0.0010M; 4—酒石酸, 0.050M;
5—柠檬酸, 0.050M; 6—三氯乙酸, 0.030M;
7—丁二酸, 0.050M; 8—丙二酸。

图10 Fe(II) 存在下五种羧酸对
 $\text{UO}_2^{2+}-\text{H}^+$ 交换过程中 UO_2^{2+} 的

B_t-t 图之影响
1—酒石酸; 2—柠檬酸;
3—三氯乙酸; 4—丁二酸;
5—丙二酸。

从上述结果可以看出，羧酸在不同阳离子存在下的 τ_d 和 D 的关系仍然成立。

以上所研究的几种羧酸加速效应的次序为：丙二酸>丁二酸>溴代丁二酸>三氯乙酸>柠檬酸>酒石酸>草酸（溴代丁二酸，草酸相应为 U(IV) 与 Ti(IV) 作加速离子时的对比研究结果）。

这一次序和以流洗法用 Mn^{2+} 为加速阳离子得到的结果一致^[6]。

表8 Fe(II)存在下，羧酸对 $\text{UO}_2^{2+}-\text{H}^+$ 交换的加速效应
树脂号：No.2； $\phi_{\text{Fe}(II)}=35.1\%$ ； $C_{\text{UO}_2^{2+}}=1.95 \times 10^{-3} \text{M}$ ； $T=25 \pm 1^\circ\text{C}$ 。

羧 酸	酸 浓 度, M	pH	$B, 1/\text{s}$	$D, \text{cm}^2/\text{s}$	τ_d, s
酒石酸	0.050	1.50	7.28×10^{-2}	5.0×10^{-8}	11.5
柠檬酸	0.050	1.50	7.40×10^{-2}	5.1×10^{-8}	11.0
三氯乙酸	0.050	1.48	7.71×10^{-2}	5.3×10^{-8}	10.0
丁二酸	0.050	1.49	8.67×10^{-2}	5.9×10^{-8}	9.5
丙二酸	0.050	1.50	9.40×10^{-2}	6.4×10^{-8}	9.5

理 论 探 讨

有关阳离子加速作用之起因及对应规律的理论解释见文献〔3—4〕，下面主要从理论方面考察阳离子的加速效应。

大孔离子交换树脂具有发达的内、外表面，溶液中的阴离子将在树脂的内、外壁上作二级吸附，形成双电外层（内层是阳离子），如果阴离子浓度很低，或吸附力弱，则双电层效应可以忽略。这时 $\text{UO}_2^{2+}-\text{H}^+$ 交换过程起始阶段的 UO_2^{2+} 在两相界面处的浓度分布和趋向如图11(a) I 所示，曲线上每一点表示某一位置（横轴）和浓度的 UO_2^{2+} 化学种。

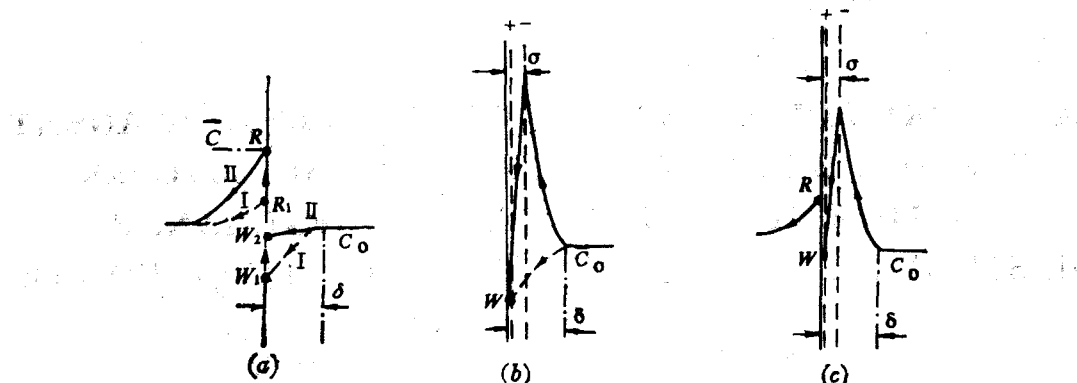


图11 $\text{UO}_2^{2+}-\text{H}^+$ 交换过程中 UO_2^{2+} 的传质
 δ ——液膜厚； σ ——吸附双电层厚。

UO_2^{2+} 主要籍液膜内的浓差扩散输送到树脂壁液相一侧(W)，随即局部脱水进入到树脂壁固相一侧(R)，继之以粒内扩散。在起始阶段，液膜内浓差很大而树脂相表层和内层间的浓差很小，传质主要依靠液膜内的浓差扩散，显然液膜扩散为主控因素。随着过程的进行，液膜内浓差缩小而树脂相内的浓差增大，逐步发展为联合控制阶段；最后，液膜内浓差消失而进入粒内扩散阶段，如图11(a)中的Ⅱ所示。稀盐酸条件下的 $\text{UO}_2^{2+}-\text{H}^+$ 交换就是这种情况，相应的 $Bt-t$ 关系见图1中曲线1。

如果阴离子浓度足够高，或其吸附力相当强，则吸附双电层的存在会加速 UO_2^{2+} 在液相内的传质。图11(b)表示了这种情况下起始阶段 UO_2^{2+} 的浓度分布和趋向：溶液本体中的 UO_2^{2+} 受表面阴电荷的库仑力快速趋集到双电外层，然后在双电层内很高的浓度梯度下输送到树脂壁液相一侧(W)，以这两个快过程代替了虚线表示的液膜内浓差扩散的慢过程； W 所示的 UO_2^{2+}

因受双电外层的束缚，在未构成稳定的双电层之前，它不能由W进入R，W和R各表示界面一侧处的 UO_2^{2+} 化学种。 UO_2^{2+} 的这一段“充电时间”就相当于 $Bt-t$ 图上的“死时间”；当双电层有足够的场强时，如 0.5N HCl 、 $0.15\text{M H}_2\text{SO}_4$ 的情况，“死时间”缩短到数秒钟；而对pH 1.15的稀硫酸，由于 SO_4^{2-} 和双电内层的阳离子 H^+ 间的键强度比 Cl^- 的大，双电层的作用仍显示到使液膜扩散的主控过程消失的程度，只是 τ_d 延长到30秒。

当树脂中存在 U(IV) 、 Ti(IV) 或 Fe(II) 阳离子，溶液中存在羧酸时，这些金属离子以及 H^+ 将一起充当双电内层的离子，由于它们和羧酸根都能形成足够稳定的键，可以预计这些羧酸根都将被吸附而形成双电外层。这就解释了这种情况下所有的 $Bt-t$ 图都是交于时间坐标的直线，液膜扩散过程可以忽略。

如果是三元羧酸，就会形成 UO_2^{2+} 的中性分子^{*}，后者由W进入R时不会遭到库仑场的作用而提前进行，因而 τ_d 值较小。

至于阴离子使 UO_2^{2+} 粒内扩散加速的原因和阳离子一样，也可用吸附双电层的理论解释，即 UO_2^{2+} 在频繁地越过双电层时，一方面会引起结构（水合数改变、键的断裂等）的改变而影响扩散过程的活化熵，又会接收多余的表面能而降低过程的活化能，按绝对速度理论，两者都将导致 D 的改变，但活化能的因素是主要的，因而加速了内扩散过程。

参 考 文 献

- [1] 吴王锁等，铀和钍同位素的离子交换过程的研究，待发表。
- [2] 贾东方等，高等学校化学学报，4 (1)，19 (1983)。
- [3] 邱陵等，化学学报，Vol.44, 27(1986)
- [4] 邱陵等，化学学报，42, 1138 (1984)。
- [5] Boyd, G.E. et al., J. Am. Chem. Soc., 69, 2838(1947)。
- [6] 邱陵等，高等学校化学学报，6 (12), 1045 (1985)。

A THEORY FOR SELECTING THE COMPLEXING AGENT FOR THE ENRICHMENT OF URANIUM ISOTOPES WITH A PROCESS OF CATIONIC EXCHANGE

II. STUDY ON MASS TRANSFER OF ACCELERATED UO_2^{2+}

WU WANGSUO QIU LING

(Morden Physics Department, Lanzhou University)

ABSTRACT

The accelerative effect on the $\text{UO}_2^{2+}-\text{H}^+$ exchange process exerted by the presence of U(IV) or Ti(IV) or Fe(II) in resin phase and H_2SO_4 , HCl and six kinds of carboxylic acid in liquid phase is studied and confirmed with macrorecticular sulfonic ion exchange resin in this paper. The correspondence of inner diffusion coefficient D with detained time is verified as an universal rule; the order of accelerative effect exerted by anionic ion is clarified; the cause of accelerative effect exerted by anionic ion is explained by adsorption double layer theory and theoretical analysis for the initial stage during the $\text{UO}_2^{2+}-\text{H}^+$ exchange process is given.

Key words UO_2^{2+} ionic exchange, Exchange Kinetic, Accelerative mass transfer, Uranium isotope enrichment.

* UO_2^{2+} 和丁二酸形成七员环中性体的讨论见文献[6]。 UO_2^{2+} 和草酸极易生成负性络合物，因而草酸的加速作用不显著，见图9。